

SCIENTIFIC CONTRIBUTION

Fakultas Teknik Geologi UNIVERSITAS PADJADJARAN

homepage: http://jurnal.unpad.ac.id/bsc

p-ISSN: 1693 - 4873

Volume 14, No.1 April 2016

PENINGKATAN AKURASI PERHITUNGAN CADANGAN BATUBARA DI WILAYAH SEPARI -KALIMANTAN TIMUR BERDASARKAN DETEKSI KEMIRINGAN LUBANG BOR DENGAN SENSOR *GYROSCOPE-ACCELEROMETER-HEADING* DIJITAL

M. Gilang Firmansyah¹, Emi Sukiyah², Yuyun Yuniardi³, Undang Mardiana³

- 1. PT. Sinergy Consultancy Services, Panin Tower Building Lt.10 Grand Sudirman, Jl. Jendral Sudirman No.7 Balikpapan, Kalimantan Timur, e-mail: gemillang@yahoo.com (sekarang bergabung dengan PT. Nusa Halmahera Minerals, Site Gosowong Gold Mine)
 - Departemen Geologi Sains, FTG, Universitas Padjadjaran, Jl. Raya Bandung-Sumedang Km 21 Jatinangor 45363, e-mail: emi.sukiyah@unpad.ac.id
 - Departemen Geologi Terapan, FTG, Universitas Padjadjaran, Jl. Raya Bandung-Sumedang Km 21 Jatinangor 45363, e-mail: yuyun.yuniardi@unpad.ac.id

ABSTRACT

The resource assessment in a coal mining process is obtained through the calculation and analysis of detailed exploration data. They are obtained with geological mapping and drilling. The resource assessment was conducted to determine the estimated amount of tonnage of coal. The estimated results are used for calculation of stripping ratio on the land to determine the economics of mining. The results can determine the feasibility of a coal mine to be exploited.

In the drilling process, a borehole deviation term there. That is deviation from an oblique borehole targets. So far, drilling perpendicular always expressed a slope of 90°. That assumption was not appropriate. Drill holes are perpendicular turned out to have a value tilt varies. Therefore, the slope of the boreholes should be checked to determine the slope of the drill holes accurately. Values of the tilt and azimuth drill holes contributing as an important parameter in improving the accuracy of the calculation of reserves. Based on the results of tests on the use of digital gyroscope-accelerometer-heading sensor on exploration drilling in the Separi area, it obtained a yield increase of coal reserves calculation.

Keyword: calculation accuracy, borehole deviation, coal reserve, digital sensor

ABSTRAK

Penaksiran sumber daya dalam suatu proses penambangan batubara didapatkan melalui perhitungan dan analisis data eksplorasi detil. Data ini diperoleh dengan metode pemboran dan pemetaan geologi. Penaksiran sumber daya dilakukan untuk mengetahui taksiran jumlah tonase sumber daya batubara. Hasil taksiran selanjutnya digunakan untuk perhitungan *stripping ratio* pada lahan tersebut untuk mengetahui keekonomian bahan tambang. Hasil yang diperoleh dapat menentukan kelayakan suatu tambang untuk di eksploitasi.

Pada proses pengeboran terdapat istilah *borehole deviation*, yaitu deviasi atau simpangan miring dari suatu target lubang bor. Selama ini, pengeboran tegak lurus selalu dinyatakan memiliki kemiringan 90 . Asumsi tersebut sebenarnya tidak tepat. Kemiringan lubang bor yang dinyatakan tegak lurus ternyata memiliki nilai bervariasi. Oleh karena itu, survei kemiringan lubang bor perlu dilakukan untuk mengetahui kemiringian lubang bor secara akurat. Nilai dip dan azimut lubang bor turut berperan sebagai parameter penting dalam meningkatkan akurasi perhitungan cadangan.

Berdasarkan hasil uji coba terhadap penggunaan sensor gyroscope-accelerometer-heading dijital pada pengeboran eksplorasi di wilayah Separi diperoleh adanya peningkatan hasil perhitungan cadangan batubara.

Kata kunci: akurasi perhitungan, kemiringan lubang bor, cadangan batubara, sensor dijital.

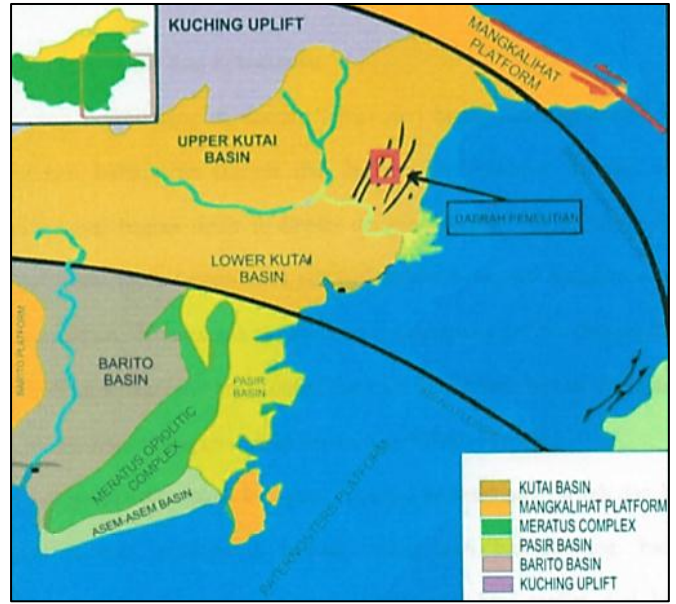
PENDAHULUAN

Kerak bumi tersusun oleh berbagai jenis batuan, baik dalam kondisi segar (fresh rock) maupun batuan yang sudah lapuk (weathered rock). Kondisi batuan dikendalikan oleh proses geologi, endogen maupun eksogen. Pengaruh kedua proses tersebut dicirikan oleh

karakteristik geomorfologi yang merupakan produk dari tektonik, vulkanik, pelapukan, dan materi penyusun batuan (Sukiyah dkk, 2015). Batubara merupakan salah satu produk proses geologi. Keberadaannya dapat tersingkap di permukaan bumi, dapat pula berada di kedalaman tertentu.

Keberadaan endapan batu-bara di bawah permukaan dapat diketahui melalui kegiatan eksplorasi (Anggayana, 2005). Eksplorasi batubara dilakukan untuk mengidentifikasi keterdapatan, bentuk, ukuran, sebaran, kuantitas, serta kualitas suatu endapan batubara. Data yang diperoleh selanjutnya dianalisis

sebagai acuan dalam investasi modal. Tingkat keyakinan sumber daya batubara diperoleh melalui hasil perhitungan cadangan. oleh karena itu, metode yang tepat diperlukan untuk mendapatkan hasil perhitungan cadangan yang akurat.



Gambar 1. Lokasi daerah penelitian diplot pada peta geologi regional (modifikasi dari Supriatna dan Rustandi, 1995)

Cekungan Kutai di Provinsi Kalimantan Timur merupakan salah satu cekungan di Indonesia yang mempunyai kandungan batubara sangat potensial. yang Berdasarkan diketahui penelitian batubara di cekungan tersebut berumur Miosen - Pliosen (Soebekti, 2005). Eksplorasi dan inventarisasi cadangan batubara secara ideal melibatkan berbagai disiplin ilmu pengetahuan, diantaranya adalah geologi geofisika. Salah satu tahapan dalam kegiatan eksplorasi adalah pengeboran. Perhitungan cadangan batubara didasarkan oleh data hasil pengeboran. Oleh karena itu metode pengeboran yang dibutuh tepat sangat untuk mendapatkan hasil perhitungan cadangan yang akurat.

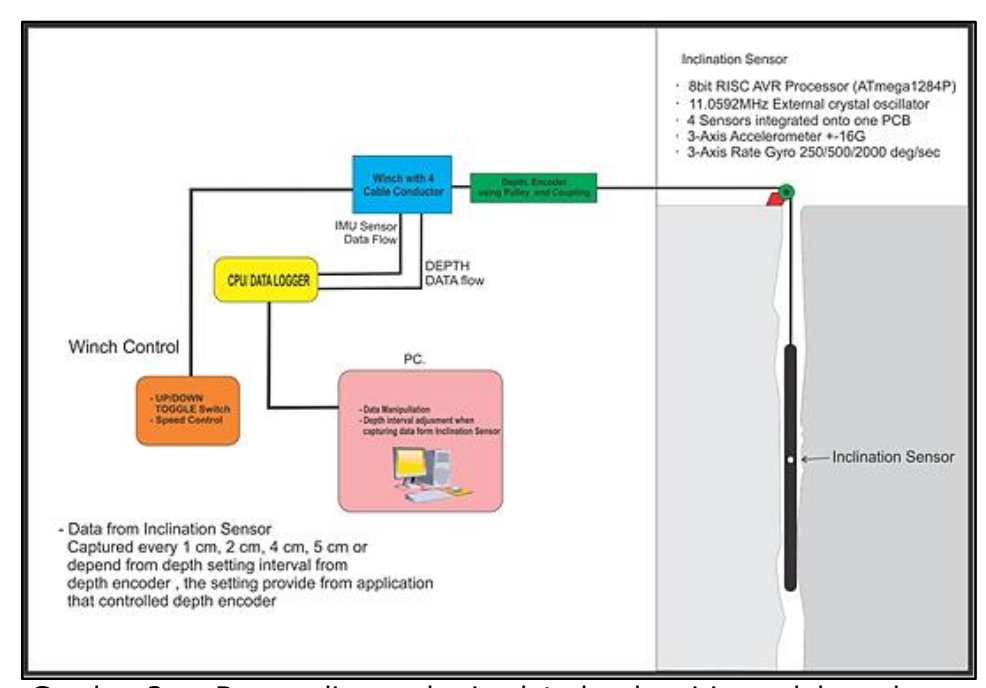
Selama ini, proses perhitungan cadangan batubara pada umumnya menganggap bahwa setiap lubang bor tegak lurus tanpa dilakukan survei kemiringan secara konsisten pada setiap lubang bor eksplorasi. Oleh karena itu lubang bor yang tegak lurus selalu dinyatakan memiliki estimasi dip 90° dan azimuth 0°. Hal ini belum bisa dinyatakan tepat, karena pada saat proses pengeboran, lubang bor bisa saja mengalami deviasi sehingga nilai dip 90° menjadi tidak tepat.

Penelitian ini merupakan pembuktian pentingnya pengukuran kemiringan lubang bor eksplorasi. Nilai hasil pengukuran penting untuk dipertimbangkan dalam parameter kemiringan lubang bor saat proses perhitungan cadangan batubara, sehingga dapat meningkatkan akurasi perhitungan. Penelitian ini juga menghasilkan alat survei kemiringan lubang bor eksplorasi dengan sensor gyroscope, accelerometer dan heading (Anonim, 2013, 2005).

Penelitian dilakukan di wilayah Separi Kalimantan Timur. Kawasan ini telah diketahui memiliki cadangan batu bara yang tinggi dan telah diteliti oleh Alam (2010), Bachtiar (2013).

METODE PENELITIAN Bahan dan Peralatan

digunakan Alat penelitian yang merupakan hasil rancangan sendiri menggunakan berbagai dengan komponen elektronika yang bersifat digital maupun mekanis. Bahan yang dibutuhkan untuk menyusun alat ukur yang diperlukan dalam penelitian ini adalah Model Sensor IMU 10 DOF. Model merupakan sensor yang sudah terintegrasi. Hasil uji validasi alat menunjukkan nilai yang signifikan pada dip sebesar 0,8274, sedangkan azimut 0,914 dengan $\alpha > 0,5$. Sedangkan pada uji reliabilitas nilai koefisien *Alpha Cronbach* untuk variabel *dip* yaitu 0,783, sedangkan variabel azimut adalah 0,782. Dengan demikian dapat disimpulkan bahwa data dari alat *borehole inclinometer* memiliki konsistensi yang tinggi dan layak untuk digunakan dalam penelitian ini (Gambar 2).



Gambar 2. Bagan alir cara kerja alat ukur kemiringan lubang bor

Cara Kerja Alat

Cara kerja alat adalah dengan meletakan sensor dalam suatu sonde atau probe. Selanjutnya, *probe* dimasukkan ke dalam lubang bor yang terhubung dengan komputer di permukaan melalui sebuah kabel baia berkonduktor sehingga data dapat dikirim ke atas permukaan dan langsung direkam dan ditampilkan pada komputer. Selain mengukur kemiringan dan azimuth, alat ini juga merekam informasi kedalaman lubang bor. Tiap interval kedalaman yang telah ditentukan dapat diperoleh nilai kemiringan dan azimutnya.

Akusisi Data di Lapangan

Setelah melakuan serangkaian uji validasi, reliabilitas dan uji beda, maka alat dinyatakan layak digunakan untuk penelitian dalam rangka memperoleh data kemiringan lubang bor. Data kemiringan lubang bor yang diperoleh adalah hasil akusisi data di daerah penelitian dengan rentang waktu bulan November - Desember 2013, mengikuti kegiatan pengeboran eksplorasi PT. Jembayan Muarabara.

Dari hasil akusisi data di lokasi penelitian, Diperoleh 15 lubang bor (Tabel 1) dengan deviasi error true dip berkisar antara 2% hingga 9% terhadap dip estimasi, dengan rata-rata error dip terkecil 2,85% dan terbesar adalah 9,61%. Dari data tersebut dapat diambil kesimpulan sementara bahwa estimasi yang selalu dinyatakan 90° dan digunakan untuk perhitungan cadangan adalah tidak akurat.

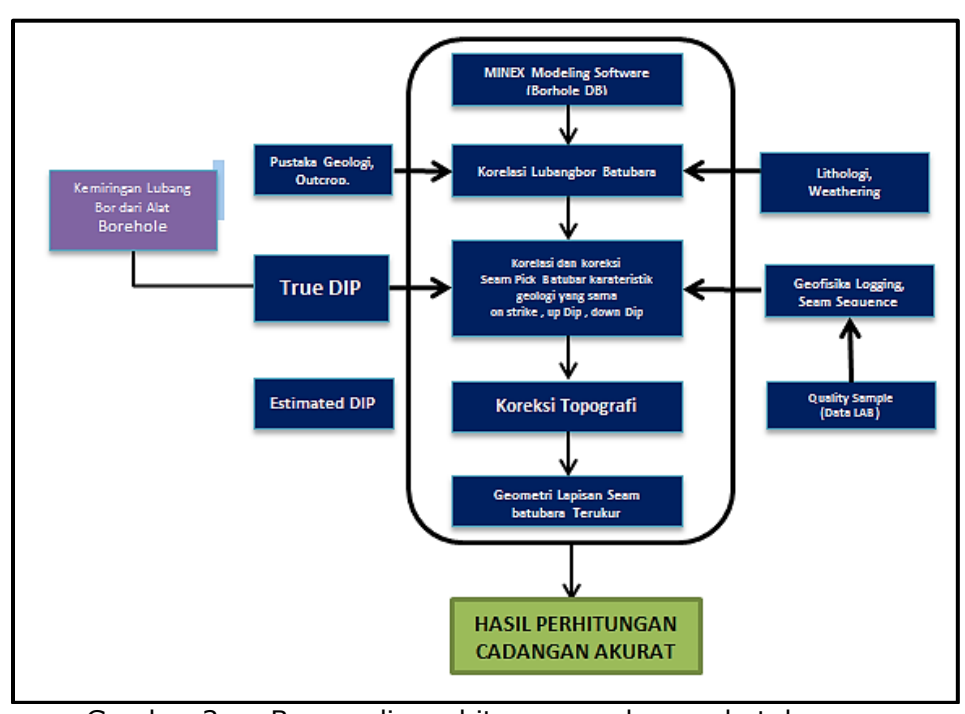
Tabel 1.	Hasil	akusisi	data	kemiringan	lubang	hor
					iabaiiq	

No.	Nama lubang bor	True Depth (m)	Average Dip (°)	Average azimuth (NºE)	Deviation (%)
1	RKR3426	251,75	87,4394	189,08	2,85
2	CKR3427	221,11	85,7514	188,87	4,72
3	CKR3427A	157,85	81,1828	190,97	9,80
4	RKR636	251,05	85,7622	207,00	4,71
5	CKR637	76,93	86,5118	188,28	3,88
6	CKR640	67,79	86,8364	194,37	3,52
7	CKR640A	64,93	87,1722	205,47	3,14
8	RKR3425	199,83	83,2322	191,61	7,52
9	RKR634	251,33	86,9315	187,99	3,41
10	RKR635	251,17	82,9081	153,96	7,88
11	RKR638	250,97	83,0313	186,17	7,74
12	RKR639	200,23	84,4318	186,35	6,19
13	RKR641	151,19	87,9546	187,19	2,27
14	RKR642	251,03	86,6296	187,62	3,74
15	RKR643	251,59	81,3515	151,74	9,61

HASIL DAN PEMBAHASAN

Dalam menghitung cadangan batubara, penelitian ini menggunakan program *Minex* Versi 6.1.2. Perhitungan cadangan batubara dilakukan melalui dua kali pemodelan seperti terlihat

pada Gambar 3. Pemodelan pertama dilakukan untuk menghitung cadangan batubara dengan mengunakan dip estimasi yang selama ini digunakan yaitu 90°.



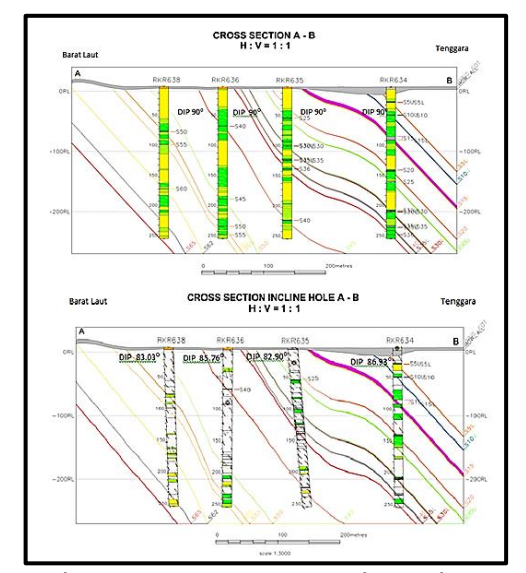
Gambar 3. Bagan alir perhitungan cadangan batubara

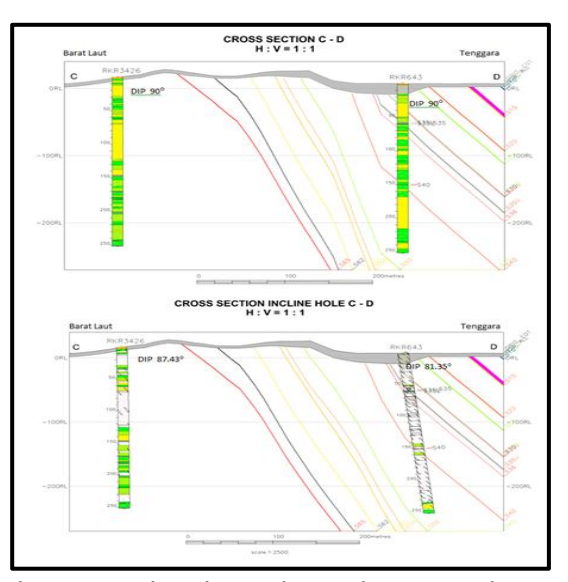
Pemodelan kedua dilakukan pada data yang sama dengan menggunakan *true* dip (kemiringan terukur). Pemodelan dilakukan pada populasi database informasi detail lubang bor, pustaka geologi, *logging* geofisika, informasi dari sampel hasil analisis di laboratorium, data topografi dan nilai kemiringan hasil akusisi data alat borehole inclinometer. Proses perhitungan cadangan sumber daya ini dilakukan pada tahap eksplorasi sebelum tahap persiapan pasca penambangan. Kegiatan ini dilakukan untuk menghitung tonase sumber daya batubara di daerah penelitian.

Perhitungan cadangan dapat dilakukan dengan berbagai metode, tetapi sebelumnya harus diketahui batasan antara sumber daya (resource) dan cadangan (reserve) dalam SNI (1998). Pemodelan dilakukan pada lubang bor yang terdiri dari 15 sampel lubang bor. Hal ini sedikit mengalami kendala karena kurangnya data lubang bor untuk dikorelasikan satu sama lain agar terbentuk geometri seam batubara

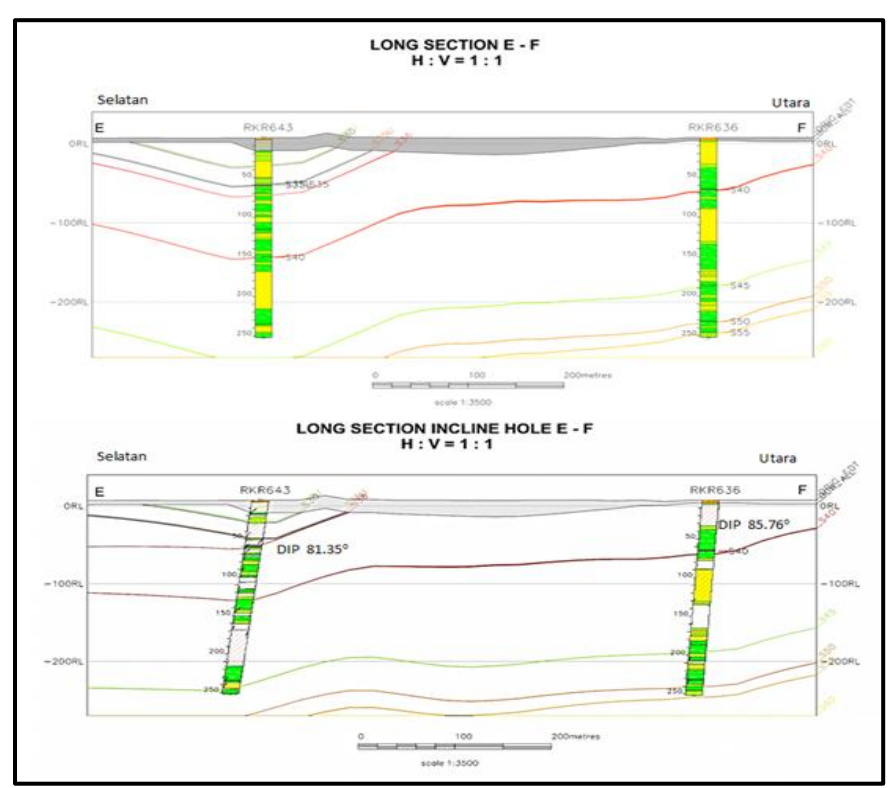
yang baik selanjutnya dapat dihitung tonase.

Setelah perhitungan melakukan cadangan pada lubang bor, hasil korelasinya menunjukan seam - seam pembawa batubara mengalami splitting dan terbagi menjadi 22 seam dengan ketebalan yang berbeda-beda. Proses penebalan dan penipisan lapisan batubara tersebut dipengaruhi oleh 2 proses yaitu proses yang bekerja selama pengendapan dan proses yang bekerja sesudah pengendapan (Horne, 1978). Tampilan profil bawah permukaan menggunakan cross section dan long section.

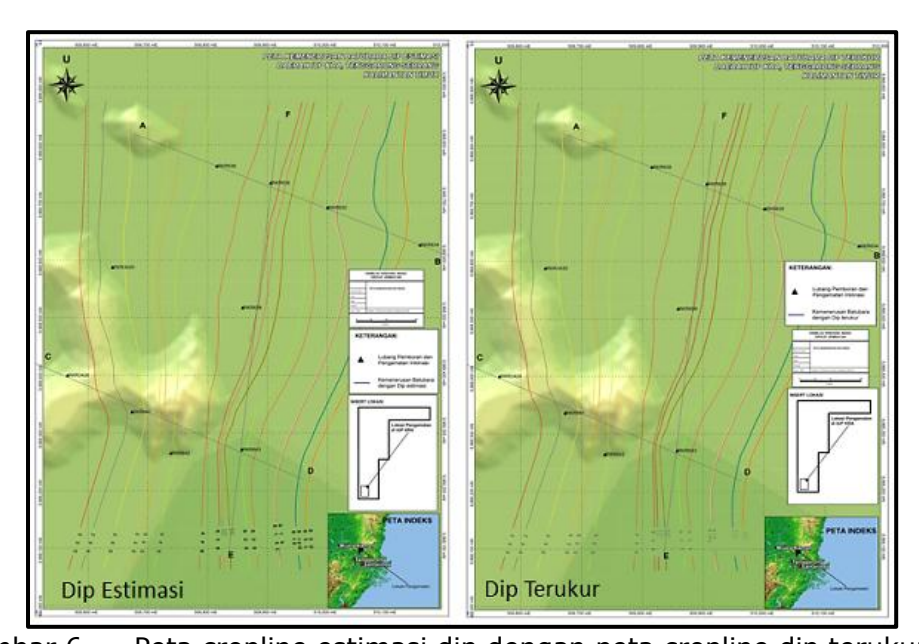




Gambar 4. Penampang lateral A-B dan C-D hasil analisis data pemboran, menunjukkan perbandingan antara log litologi hasil pemboran dengan dip estimasi (tegak lurus) dan dip terukur (*measured dip*)



Gambar 5. Penampang lateral E-F hasil analisis data pemboran, menunjukkan perbandingan antara hasil pemboran dengan dip estimasi (tegak lurus) dan dip terukur (true dip)



Gambar 6. Peta cropline estimasi dip dengan peta cropline dip terukur

Berdasarkan tiga penampang bor yang terdiri dari dua penampang tegak lurus (strike) (Gambar 4 dan 5) dan satu penampang panjang searah jurus (long section) (Gambar 6) diperoleh beberapa interpretasi. Pada ketiga penampang ini dilakukan uji beda antara lubang bor model dip estimasi

dengan dip yang terukur. Lubang bor terukur merupakan hasil akusisi alat borehole inclinometer. Berdasarkan hasil kemiringan bor (inklinasi) dengan azimut tertentu menunjukkan adanya deviasi model yang selama ini digunakan sebagai upaya koreksi secara rinci.

Ketebalan suatu lapisan batubara yang benar berdasarkan kondisi lubang bor. koreksi ketebalan batubara melalui pemboran akan memberikan perhitungan cadangan batubara dengan tingkat ketelitian tertentu.

Pada Penampang A-B dengan arah laut tenggara terdapat perbedaan antara lubang bor dengan dip estimasi dan dengan lubang bor yang memiliki dip terukur. Profil lubang bor pada penampang tersebut dipengaruhi faktor kemiringan (Gambar 5) mengkoreksi kondisi lubang bor yang sesungguhnya. Hal ini akan mempengaruhi hasil dari geometri pemodelan karena hasil tersebut mendekati keadaan yang sebenarnya. Hasil akhir tentunya akan mengkoreksi ketebalan batubara, volume batubara, tonase batubara, striping ratio (nisbah pengupasan), dan lapisan tanah penutup (overburden).

Pada lubang bor RKR635 yang memilki dip 82,90° jika tidak dilakukan koreksi pada perhitungan cadangan dengan memasukan nilai inklinasi, akan terlihat bahwa batubara pada lubang bor RKR635 lebih tipis jika dihitung dengan dip estimasi tegak, padahal seharusnya lebih tebal. Berdasarkan kondisi lubang bor sebenarnya, akibat dari deviasi lubang bor yang berlawanan arah dengan dip dari lapisan batubara dibawah permukaan. Jika pemodelan dilakukan tanpa koreksi kemiringan hasil geometri seam batu bara akan mengakibatkan perhitungan cadangan batubara tidak akurat.

Kondisi yang sama juga terjadi pada lubang bor RKR638 dengan dip 83,03°. Kemiringan yang berlawanan arah dengan dip batubara akan membuat ketebalan batubara tampak lebih tebal dari keadaan sebenarnya. Sedangkan pada lubang bor RKR634 dengan dip 86,93° kemiringan tidak menampakan kondisi kemiringan yang ekstrim. Oleh karena itu ketebalan yang diperoleh bisa saja mendekati lubang bor dengan dip estimasi 90° namun deviasi sebesar 3,41% tentu akan mempengaruhi geometri hasil dari pemodelan yang

akhirnya akan berpengaruh pada hasil perhitungan cadangan.

Pada Penampang C-D dengan arah barat laut – tenggara, kemiringan lubang bor RKR3426 memiliki deviasi 2,85% dengan dip 87,43°, sedangkan lubang bor RKR641 memilki deviasi sebesar 2,27% dengan nilai dip 87,95°, dan lubangbor RKR643 memilki deviasi 9.61% dengan dip 81,35°, variasi dip dari lubang bor tersebut mempengaruhi aeometeri dimodelkan yang program Minex. Tampak pada lubang bor RKR643 kemiringan mencapai dip 81,35°. Kemiringan tersebut tampak cukup ekstrim, arah kemiringan lubang searah dengan dip seam dari bor batubara.

Pada Penampang E-F (Gambar 6) dengan arah selatan utara, kemiringan lubang bor RKR643 dip 81,35° dengan deviasi sebesar 9,61%, RKR639 dip 84,43° dengan deviasi sebesar 6,19% dan, RKR636 (Gambar 7) dip 85,76° dengan deviasi sebesar 4,71%. Dari hasil pemodelan tersebut peta penerusan dibuat cropline batubara dari penampakan cropline estimasi dip dengan peta cropline dip terukur (Gambar Tampak tidak terlalu ada perubahan lintasan kemenerusan batubara yang jauh berbeda. Namun perbedaan model dari dua paramater yang berbeda memberikan perbedaan volume overburden yang cukup bervariasi. Perbedaan overburden dip terukur mengkoreksi overburden yang dihasilkan oleh estimasi dip, dengan perbedaan yang cukup besar contoh terjadi pada seam S10, true dip mengkoreksi hingga -467% terhadap estimasi dip, kemudian S36 true dip mengkoreksi +18,63% terhadap estimasi *dip*. Hingga dihasilkan total volume *overburden* pada *true dip* m^3 adalah 241.334.863 dan 245.324.376 m^3 atau terdapat perbedaan dimana dip terukur memilki selisih kurang 3.989.513 m³ dari dip estimasi (Tabel 2) yang berarti suatu efisiensi pengeluaran biaya produksi.

Tabel 2. Disperasi perbedaan

NO	NAMA SEAM	Volume Overburden (m ³) Dip Terukur	Volume Overburden (m ³) Dip Estimasi	Selisih Dip Estimasi VS Dip Terukur	Persentase Selisih (%) Dip Terukur VS Dip Estimasi
1	S5U	21,115,978	21,126,077	-10,099	-0.05
2	S5L	38,362	38,589	-227	-0.59
3	S10U	3,530,008	3,542,325	-12,317	-0.35
4	S10	11,595	65,826	-54,231	-467.71
5	S15	7,153,471	7,030,137	123,334	1.72
6	S15L	46,965	44,559	2,406	5.12
7	S20	11,331,038	11,585,873	-254,835	-2.25
8	S25	4,689,263	4,907,617	-218,354	-4.66
9	S30U	13,582,044	13,029,572	552,472	4.07
10	S30	400,790	412,109	-11,319	-2.82
11	S30L	74,754	76,567	-1,813	-2.43
12	S35U	6,157,225	6,852,115	-694,890	-11.29
13	S35	21,176	49,251	-28,075	-132.58
14	S35L	38,090	37,762	328	0.86
15	S36	4,532,402	3,687,903	844,499	18.63
16	S40	25,944,720	27,018,727	-1,074,007	-4.14
17	S45	45,694,571	47,054,539	-1,359,968	-2.98
18	S50	17,555,618	18,728,279	-1,172,661	-6.68
19	S55	7,031,599	7,697,102	-665,503	-9.46
20	S60	32,093,012	30,530,657	1,562,355	4.87
21	S62	25,935,736	26,908,766	-973,030	-3.75
22	S65	14,356,446	14,900,024	-543,578	-3.79

Cadangan yang dihitung dalam model ini adalah cadangan insitu, yaitu cadangan tempat (posisi) yang asli, dapat juga berarti posisi batubara di tempat endapan dalam tanah. Dari data yang disajikan (Tabel 3) tampak perbedaan tonase pada lubang bor dengan estimasi Dip terhadap lubang bor dip terukur. Jumlah tonase batubara yang dihasilkan pada dip estimasi adalah 6.590.033,00 Ton, sedangkan pada dip terukur adalah

6.599.516,00 Ton. Terdapat perbedaan sebesar 9.483,00 Ton atau dengan kata hasil penelitian perhitungan cadangan dengan mengunakan dip terukur meningkatkan cadangan Perlu sebesar 0,15%. ditegaskan bahwa kembali alat ini tidak mengkoreksi dip dari ketebalan batubara terhadap litologi. Jadi alat ini digunakan untuk mengkoreksi kemiringan lubang bor dari estimasi dip menjadi dip sebenarnya.

Tabel 3. Hasil perhitungan cadangan batubara

	tu Reserves R	eport.		Inclined (DIP		
vertic		Polygon	rface Grid rface Grid : BOUNDARY	KP			
Seam	volume cu.m	Thick metres	Tonnage tonnes	Thick metres	Area sq.m	STRIP Increm.	ACCUM.
55U	21115978 38362 3530008 11595 7153471 46965 11331038 4689263 13382044 400790 74754 6157225 21176 28090 452402 25944720 45694571 17555618 2755618	126.1	121548	0.55	167413	173.7	173.7
55L	38362	0.2	110988	0.50	168038	0.3	91.0
5100	11595	0.1	173909	0.70	188163	0.1	48.9
515	7153471	32.1	1706130	5.80	222850	4.2	14.4
515L	46965	0.2	354525	1.20	224100	0.1	12.4
520	4689263	17.6	423176	1.20	256100	39.4	14.6
530u	13582044	46.6	93553	0.24	290788	145.2	18.2
530	400790	1.4	127440	0.33	291413	3.1	17.7
530L 535u	6157225	20.3	19998	0.15	288913 283038	307.9	19.1
535	21176	0.1	691688	1.72	304038	0.0	16.0
535L	38090	0.1	56159	0.14	300288	0.7	15.8
536	25044720	73.0	211061	0.34	350850	21.5 103.3 213.9 104.8	20.6
545	45694571	111.1	213592	0.40	409538	213.9	28.9
550	17555618 7031599	40.6	167513	0.29	432788	104.8	31.3
555 560	7031599	15.9	291230	0.40	442913	24.1 127.6	31.0
562	25025726	51.5	322672	0.49	502413	127.6 80.4 25.3	35.2 37.6
							200
	14356446	27.4	567734	0.82	523788	25.3	36.6
TOTAL		710.7	6599516	17.80	523788	25.3	30.0
TOTAL		710.7	6599516	17.80	523788	25.3	36.6
TOTAL Seam Insi	241334863 tu Reserves R	710.7 teport.	6599516	17.80		25.3	36.6
TOTAL Seam Insi	241334863	710.7 teport.	6599516	17.80 Stimasi D	IP.		
TOTAL Seam Insi	241334863 tu Reserves R cal Limits :	710.7 teport. upper St Lower St Polygon	6599516 urface Grid urface Grid : BOUNDARY	17.80 :stimasi D : BOW_ALL : S65SF	DONAME :	02_MODEL 02_MODEL	
Yertic	241334863 tu Reserves R cal Limits :	710.7 teport. upper St Lower St Polygon	6599516 urface Grid urface Grid : BOUNDARY	17.80 :stimasi D : BOW_ALL : S65SF	DONAME :	02_MODEL 02_MODEL	
Yertic	241334863 tu Reserves R cal Limits : :: :: :: volume	upper St Lower St Polygon Thick	ef599516 urface Grid urface Grid : BOUNDARY Tonnage	17.80 : BOW_ALL : S65SF KP COAL Thick	DONAME : DONAME :	02_MODEL 02_MODEL STRIP Increm.	RATIO ACCUM,
Vertic	241334863 tu Reserves R cal Limits : :: :: :: volume	upper St Lower St Polygon Thick	ef599516 urface Grid urface Grid : BOUNDARY Tonnage	17.80 : BOW_ALL : S65SF KP COAL Thick	DONAME : DONAME :	02_MODEL 02_MODEL STRIP Increm.	RATIO ACCUM,
Yertic	241334863 tu Reserves R cal Limits : :: :: :: volume	upper St Lower St Polygon Thick	ef599516 urface Grid urface Grid : BOUNDARY Tonnage	17.80 : BOW_ALL : S65SF KP COAL Thick	DONAME : DONAME :	02_MODEL 02_MODEL STRIP Increm.	RATIO ACCUM,
Yertic	241334863 tu Reserves R cal Limits : :: :: :: volume	upper St Lower St Polygon Thick	ef599516 urface Grid urface Grid : BOUNDARY Tonnage	17.80 : BOW_ALL : S65SF KP COAL Thick	DONAME : DONAME :	02_MODEL 02_MODEL STRIP Increm. 173.9 0.3 35.8	RATIO ACCUM,
Yertic	241334863 tu Reserves R cal Limits : :: :: :: volume	upper St Lower St Polygon Thick	ef599516 urface Grid urface Grid : BOUNDARY Tonnage	17.80 : BOW_ALL : S65SF KP COAL Thick	DONAME : DONAME :	02_MODEL 02_MODEL STRIP Increm. 173.9 0.3 35.8 0.4	RATIO ACCUM. 173.9 91.1 74.5 49.0
Yertic	241334863 tu Reserves R cal Limits : :: :: :: volume	upper St Lower St Polygon Thick	ef599516 urface Grid urface Grid : BOUNDARY Tonnage	17.80 : BOW_ALL : S65SF KP COAL Thick	DONAME : DONAME :	02_MODEL 02_MODEL STRIP Increm. 173.9 0.3 35.8 0.4	RATIO ACCUM. 173.9 91.1 74.5 49.0 14.4
Yertic	241334863 tu Reserves R cal Limits : :: :: :: volume	upper St Lower St Polygon Thick	ef599516 urface Grid urface Grid : BOUNDARY Tonnage	17.80 : BOW_ALL : S65SF KP COAL Thick	DONAME : DONAME :	02_MODEL 02_MODEL STRIP Increm. 173.9 0.3 35.8 0.4	RATIO ACCUM. 173.9 91.1 74.5 49.0 14.4 12.4 15.2
Yertic	241334863 tu Reserves R cal Limits : :: :: :: volume	upper St Lower St Polygon Thick	ef599516 urface Grid urface Grid : BOUNDARY Tonnage	17.80 : BOW_ALL : S65SF KP COAL Thick	DONAME : DONAME :	02_MODEL 02_MODEL STRIP Increm. 173.9 0.3 35.8 0.4 4.1 0.1 40.5	RATIO ACCUM. 173.9 9.1.1 74.5 49.0 14.4 12.4 15.2 14.8
Yertic	241334863 tu Reserves R cal Limits : :: :: :: volume	upper St Lower St Polygon Thick	ef599516 urface Grid urface Grid : BOUNDARY Tonnage	17.80 : BOW_ALL : S65SF KP COAL Thick	DONAME : DONAME :	02_MODEL 02_MODEL STRIP Increm. 173.9 0.3 35.8 0.4 4.1 0.1 40.5	RATIO ACCUM. 173.9 9.1.1 74.5 49.0 14.4 12.4 15.2
Yertic	241334863 tu Reserves R cal Limits : :: ::	upper St Lower St Polygon Thick	ef599516 urface Grid urface Grid : BOUNDARY Tonnage	17.80 : BOW_ALL : S65SF KP COAL Thick	DONAME : DONAME :	02_MODEL 02_MODEL STRIP Increm. 173.9 0.3 35.8 0.4 4.1 0.1 40.5	RATIO ACCUM. 173.9 9.1.1 74.5 49.0 14.4 12.4 15.2 14.8
Yertic	241334863 tu Reserves R cal Limits : :: ::	upper St Lower St Polygon Thick	ef599516 urface Grid urface Grid : BOUNDARY Tonnage	17.80 : BOW_ALL : S65SF KP COAL Thick	DONAME : DONAME :	02_MODEL 02_MODEL STRIP Increm. 173.9 0.3 35.8 0.4 4.1 0.1 40.5	RATIO ACCUM. 173.9 9.1.1 74.5 49.0 14.4 12.4 15.2 14.8
Yertic	241334863 tu Reserves R cal Limits : :: ::	upper St Lower St Polygon Thick	ef599516 urface Grid urface Grid : BOUNDARY Tonnage	17.80 : BOW_ALL : S65SF KP COAL Thick	DONAME : DONAME :	02_MODEL 02_MODEL STRIP Increm. 173.9 0.3 35.8 0.4 4.1 0.1 40.5	RATIO ACCUM. 173.9 9.1.1 74.5 49.0 14.4 12.4 15.2 14.8
Yertic	241334863 tu Reserves R cal Limits : :: ::	upper St Lower St Polygon	ef599516 urface Grid urface Grid : BOUNDARY Tonnage	17.80 : BOW_ALL : S65SF KP COAL Thick	DONAME : DONAME :	02_MODEL 02_MODEL STRIP Increm. 173.9 0.3 35.8 0.4 4.1 0.1 40.5	RATIO ACCUM. 173.9 9.1.1 74.5 49.0 14.4 12.4 15.2 14.8
Yertic	241334863 tu Reserves R cal Limits : :: ::	upper St Lower St Polygon	ef599516 urface Grid urface Grid : BOUNDARY Tonnage	17.80 : BOW_ALL : S65SF KP COAL Thick	DONAME : DONAME :	02_MODEL 02_MODEL STRIP Increm. 173.9 0.3 35.8 0.4 4.1 0.1 40.5	RATIO ACCUM. 173.9 9.1.1 74.5 49.0 14.4 12.4 15.2
Yertic	241334863 tu Reserves R cal Limits : :: ::	upper St Lower St Polygon	ef599516 urface Grid urface Grid : BOUNDARY Tonnage	17.80 : BOW_ALL : S65SF KP COAL Thick	DONAME : DONAME :	02_MODEL 02_MODEL STRIP Increm. 173.9 0.3 35.8 0.4 4.1 0.1 40.5	RATIO ACCUM. 173.9 9.1.1 74.5 49.0 14.4 12.4 15.2 14.8
Yertic	241334863 tu Reserves R cal Limits : :: ::	upper St Lower St Polygon	ef599516 urface Grid urface Grid : BOUNDARY Tonnage	17.80 : BOW_ALL : S65SF KP COAL Thick	DONAME : DONAME :	02_MODEL 02_MODEL STRIP Increm. 173.9 0.3 35.8 0.4 4.1 0.1 40.5	RATIO ACCUM. 173.9 99.1 74.5 49.0 14.4 12.4 15.2 14.8
Yertic	241334863 tu Reserves R cal Limits : :: ::	upper St Lower St Polygon	ef599516 urface Grid urface Grid : BOUNDARY Tonnage	17.80 : BOW_ALL : S65SF KP COAL Thick	DONAME : DONAME :	02_MODEL 02_MODEL STRIP Increm. 173.9 0.3 35.8 0.4 4.1 0.1 40.5	RATIO ACCUM. 173.9 9.1.1 74.5 49.0 14.4 12.4 15.2 14.8
Vertice Seam	241334863 tu Reserves R cal Limits : :: ::	upper St Lower St Polygon	ef599516 urface Grid urface Grid : BOUNDARY Tonnage	17.80 : BOW_ALL : S65SF KP COAL Thick	DONAME : DONAME :	02_MODEL 02_MODEL STRIP Increm. 173.9 0.3 35.8 0.4 4.1 0.1 40.5	RATIO ACCUM. 173.9 9.1.1 74.5 49.0 14.4 12.4 15.2
Vertice Seam	241334863 tu Reserves R cal Limits : : :	710.7 teport. upper St. Lower St. Polygon thick metres 126.2 18.9 0.3 31.5 0.2 45.1 18.3 44.8 1.4 0.2 0.1 11.8 77.3 116.0 43.9 17.7 65.5 53.8	ef599516 urface Grid urface Grid : BOUNDARY Tonnage	17.80 : BOW_ALL : 5655F KP COAL Thick metres 0.55 0.50 0.40 0.70 5.79 1.20 0.85 1.19 0.25 0.34 0.15 0.15 0.15 0.52 0.54 0.41 0.29 0.51 0.49 0.82	DONAME : DONAME :	02_MODEL 02_MODEL STRIP Increm. 173.9 0.3 35.8 0.4	RATIO ACCUM. 173.9 9.1.1 74.5 49.0 14.4 12.4 15.2

Verifikasi hasil Analisis Cadangan Insitu

Untuk menentukan apakah terdapat perbedaan signifikan atau tidak dari kedua hasil perhitungan cadangan tersebut, maka kedua hasil dari penelitian dengan lubang bor dip berinklinasi dan lubang bor dip estimasi dilakukan uji beda. Hasil uji beda dengan menggunakan t-test menghasilkan nilai siginfikansi 0,99 dengan menyatakan $\alpha > 0,05$ bernilai valid. Oleh karena itu hasil dari penelitian dengan menggunakan dip

berinklinasi dinyatakan valid. Tidak ada perbedaan yang signifikan antara hasil cadangan estimasi Dip terhadap hasil cadangan Dip terukur, namun penelitian ini berhasil meningkatkan akurasi perhitungan cadangan di daerah penelitian.

KESIMPULAN

Berdasarkan pendekataan kuantitatif dan melalui uji validasi, uji realibilitas dan uji beda, alat *borehole inclinometer* yang dibuat dinyatakan valid dan layak digunakan sebagai alat ukur kemiringan lubang bor. Hal ini didukung hasil uji validasi degan menetapkan nilai signifikansi $\alpha > 0.05$ diyatakan valid, maka nilai 0.8274 untuk nilai dip, dan nilai 0.914 dengan demikian dapat dinyatakan variabel kemiringan dan azimut adalah valid dan lulus uji validasi. Sedangkan berdasarkan hasil pengujian reliabilitas dimana uji ini untuk menentukan apakah hasil yang didapat oleh alat adalah konsisten atau tidak, diperoleh nilai koefisien Alpha Cronbach untuk variabel kemiringan sebesar 0.783, dan variable azimut adalah 0.782.

Dengan demikian dapat disimpulkan bahwa data dari alat borehole inclinometer memiliki konsistensi yang tinggi dan layak untuk digunakan dalam penelitian ini. Artinya kriteria vang ada dalam instrumen tersebut secara rasional (teoritis) telah mencerminkan apa yang diukur sesuai fakta empiris sebagai alat borehole inclinometer. Hal ini juga didukung oleh hasil uji beda alat ukur sejenis, yaitu alat uji ukur SP-2 Inclinomter terhadap Borehole Inclinometer. Diperoleh hasil bahwa parameter nilai kemiringan dan nilai azimut dari borehole inclinometer terhadap nilai Inclinometer digital SP-2 tidak ada perbedaan nilai yang signifikan. Nilai kemiringan 0,847 dan untuk azimut 0,72, maka dapat diputuskan menerima H_0 ($\alpha > 0.05$) dari hipotesis yang diujikan di atas. Fakta empiris dapat diinterpretasikan bahwa kedua ukur kemiringaan tersebut alat memiliki nilai yang relatif sama dan konsisten dalam mengidentifikasi kemiringan suatu bidang.

kajian penelitian perhitungan cadangan yang telah dilakukan antara lubang bor dengan dip estimasi 90° dip terukur diperoleh dengan perbedaan jumlah tonase batubara yang dihasilkan. Pada dip estimasi adalah sebesar 6.590.033,00 sedangkan pada dip terukur adalah 6,599,516.00 ton. Terdapat perbedaan sebesar 9.483,00 ton atau dengan kata lain hasil penelitian perhitungan cadangan dengan mengunakan dip meningkatkan cadangan sebesar 0,15%. Walaupun perbedaan cadangan batubara tidak menghasikan perbedaan yang signifikan namun terbukti perhitungan dengan menggunakn lubang bor dengan survei kemiringan meningkatkan dalam perhitungan cadangan batubara. Kajian perhitungan cadangan batubara antar lubang bor dengan dip estimasi berinklinasi lubang bor dengan menghasilkan jumlah cadangan yang berbeda.

UCAPAN TERIMA KASIH

Ucapan terima terutama ditujukan kepada Manajemen PT. Sinergy Consultancy Services yang telah memberikan sponsor dalam penelitian ini. Selain itu, ucapan terima kasih ini juga ditujukan kepada Staf Dosen Pascasarjana Fakultas Teknik Geologi Universitas Padjadjaran yang telah memberikan kritik, saran, dan diskusi untuk melengkapi artikel ini. Semoga seluruh bantuan vana diberikan dapat bermanfaat bagi kemajuan ilmu pengetahuan pemanfaatannya untuk masyarakat.

DAFTAR PUSTAKA

Alam, F. 2010. Coal Stratigrafi of Separi, Kabupaten Kutai Kartanegara dan Kabupaten Kutai Timur, Provinsi Kalimantan Timur. PT Sakari Resources Ltd. Balikpapan, 22 hlm.

Anggayana, K. 2005. Genesa Batubara (Bagian A). FIKTM, ITB, Bandung.

Anonim. 2003, New iMEMS Angular-Rate-Sensing Gyroscope, http://www.analog.com. Diunggah Oktober 2012

Anonim. 2005, Using Absolute Output iMEMS® Gyroscopes with Ratiometric ADCs, http://www.analog.com. Diunggah Oktober 2012

Bachtiar. A. 2013. Application Sedimentology for Coal Geologist and Coal Exploration. GDA Consulting, Separi. Tidak diterbitkan. 66 hal.

Horne. J. C. 1978. Depositional Models in Coal Exploration and Mine Planning in Appalachian Region. American Association of Petroleum Geologists Bulletin, Vol. 62: 2379-2411.

Soebekti, A. D. 2005. Inventarisasi Batubara Bersistem Daerah Ritan Baru dan Sekitarnya, Kabupaten Kutai Kartanegara, Propinsi Kalimantan

- Timur, Sub. Direktorat Batubara. Bandung.
- Standar Nasional Indonesia. 1998. Klasifikasi Sumber daya dan Cadangan Batubara. Badan Standardisasi Nasional-BSN. Jakarta.
- Sukiyah, E., Syafri, I., Sjafrudin, A., Nurfadli, E., Khaerani, P., Simanjuntak, Dian P.A. 2015. Morphotectonic and satellite imagery
- analysis for identifying Quaternary fault at Southern part of Cianjur-Garut region, West Java, Indonesia. Proceeding The 36th Asian Conference on Remote Sensing.
- Supriatna & Rustandi. 1995. Peta Geologi Lembar Samarinda 1: 250.000. Pusat Penelitian dan Pengembangan Geolgi, Bandung.

Bulletin of Scientific Contribution, Volume 14, Nomor 1, April 2016 : 1-12